

TRANSFORMADAS NUMÉRICAS DE HARTLEY

R. M. CAMPELLO DE SOUZA, H. M. DE OLIVEIRA,
L. B. ESPINOLA PALMA E M. M. CAMPELLO DE SOUZA

CODEC - Grupo de Pesquisas em Comunicações,
Departamento de Eletrônica e Sistemas - UFPE,
Caixa Postal 7800, 50711 - 970, Recife - PE, Brasil,

E-mail: Ricardo@npd.ufpe.br, HMO@npd.ufpe.br, Palma@elogica.com.br, marciam@npd.ufpe.br

RESUMO

Transformadas discretas desempenham um importante papel em Engenharia e suas aplicações devem-se principalmente à existência das chamadas transformadas rápidas. Especificamente, transformadas discretas definidas sobre corpos finitos são atraentes por não introduzirem erros de truncagem ou arredondamento, e por apresentarem uma aritmética de baixa complexidade. Neste artigo, a Transformada Numérica de Hartley (TNH) é introduzida. Em particular, a Transformada Numérica de Hartley-Mersenne é definida e algumas transformadas sem multiplicações são apresentadas. Um algoritmo rápido para computar a TNH é sugerido.

1. INTRODUÇÃO

Transformadas Discretas definidas sobre corpos finitos são ferramentas que, embora recentes, desempenham um papel importante em Engenharia. A transformada de Fourier em um corpo finito foi introduzida em [1] como uma ferramenta para efetuar convoluções discretas finitas usando aritmética inteira. Posteriormente, ela veio a ser utilizada em muitas outras aplicações, sobretudo nas áreas de Processamento Digital de Sinais, Teoria da Informação, Códigos Corretores de Erros e Criptografia [2-6]. Recentemente, a transformada de Hartley sobre corpos finitos foi introduzida [7], [8], a qual apresenta propriedades de simetria que a tornam mais atraente, para diversas aplicações, que a transformada de Fourier de corpo finito, e tem importantes aplicações no campo da multiplexação digital [9].

Transformadas em corpos finitos que mapeiam vetores de $GF(p)$ em vetores de $GF(p)$ e, portanto, empregam aritmética módulo p , são chamadas transformadas numéricas (TN). Tais transformadas não provocam erros de arredondamento ou *overflow* e tem, em muitos casos de interesse, uma implementação em *hardware* consideravelmente simples. Neste artigo, uma nova transformada numérica é introduzida, a Transformada Numérica de Hartley (TNH). Na próxima seção, a Transformada de Fourier de corpo finito é revista e a TNH é definida usando-se os inteiros gaussianos sobre um corpo finito. Na seção 3, as Transformadas Numéricas de Hartley-Fermat (TNHF) e Hartley-Mersenne (TNHM) são consideradas, onde são usados, respectivamente, os corpos finitos $GF(2^s+1)$ e $GF(2^s-1)$. Nesta seção algumas famílias de transformadas numéricas cuja implementação não requer multiplicações são construídas. Tais transformadas requerem apenas deslocamentos cíclicos, adições e subtrações para serem computadas, o que as torna atraentes para aplicações

devido a sua baixa complexidade computacional. A seção 4 propõe um algoritmo eficiente para computar a TNH, após o que algumas conclusões são apresentadas na seção 5.

2. A TRANSFORMADA NUMÉRICA DE HARTLEY

Definição 1: Seja $f = (f_0, f_1, \dots, f_{N-1})$ um vetor de comprimento N e componentes em $GF(q)$, onde $q = p^r$. Então o vetor $F = (F_0, F_1, \dots, F_{N-1})$, com componentes em $GF(q^m)$ dadas por

$$F_k = \sum_{i=0}^{N-1} f_i \alpha^{ki},$$

onde α é um elemento de ordem N em $GF(q^m)$, é a Transformada de Fourier em um Corpo Finito (TFCF) de f . Quando $r = m = 1$, a transformação mapeia vetores com elementos em $GF(p)$ e é chamada Transformada Numérica de Fourier (TNF). Essa transformada apresenta aspectos atraentes em alguns casos, tais como baixa complexidade computacional e simplicidade de implementação. Entretanto, a TNF está restrita àqueles comprimentos N para os quais existe um elemento α de ordem N em $GF(p)$, ou seja, N precisa ser um divisor de $(p-1)$, o que nem sempre resulta em escolhas de interesse prático.

No que se segue, $GI(q^m)$ denota o conjunto de inteiros gaussianos sobre $GF(q^m)$, isto é, o conjunto dos inteiros da forma $a+jb$ onde $a, b \in GF(q^m)$ e $j \in GF(q^{2m})$ é tal que $j^2 = -1$. Por analogia com os números complexos, os elementos de $GI(q^m)$ são ditos complexos e os de $GF(q^m)$, reais.

Definição 2: Seja $v = (v_0, v_1, \dots, v_{N-1})$ um vetor de comprimento N com componentes em $GF(q)$, onde $q=p^r$, com r um inteiro ímpar e $p \equiv 3 \pmod{4}$. Então o vetor $V = (V_0, V_1, \dots, V_{N-1})$, com componentes em $GI(q^m)$ dadas por

$$V_k = \sum_{i=0}^{N-1} v_i \text{cas}_k(\zeta^i),$$

onde ζ é um elemento de ordem N em $GI(q^m)$, é a Transformada de Hartley de Corpo Finito (THCF) de v . O núcleo da THCF é a função $\text{cas}(\cdot)$ (*cosine and sine*) em um corpo finito, definida por

$$\text{cas}_k(\zeta^i) = \text{cos}_k(\zeta^i) + \text{sen}_k(\zeta^i),$$

onde

$$\text{cos}_k(\zeta^i) = (\zeta^{ik} + \zeta^{-ik})/2$$

$$e \quad \text{sen}_k(\zeta^i) = (\zeta^{ik} - \zeta^{-ik})/2j,$$

são as funções seno e cosseno definidas em um corpo finito [8]. ■

Para construir a TNH a partir da THCF, usa-se um procedimento diferente daquele empregado para a TNF. As Transformadas Numéricas de Hartley são obtidas a partir da proposição 1 a seguir.

Proposição 1: Se $\zeta = a+jb$ é o argumento da função $\text{cas}(\cdot)$ empregada como núcleo na definição da THCF, então as componentes $V_k \in \text{GF}(p)$ (ou seja, são reais) se $a^2+b^2 \equiv 1 \pmod{p}$.

Prova: Denotando ζ^{ik} por z , as funções seno e cosseno em um corpo finito podem ser reescritas, respectivamente, como

$$\text{cos}_k(\zeta^i) = (z + z^{-1})/2$$

e

$$\text{sen}_k(\zeta^i) = (z - z^{-1})/2j.$$

Se $a^2+b^2 \equiv 1 \pmod{p}$, então $z^{-1} = z^*$, onde $*$ denota o complexo conjugado. Isto resulta em $\text{cos}_k(\zeta^i) = \Re(z)$ e $\text{sen}_k(\zeta^i) = \Im(z)$, de modo que $\text{cas}_k(\zeta^i) = \text{sen}_k(\zeta^i) + \text{cos}_k(\zeta^i) = \Re(z) + \Im(z) \in \text{GF}(p)$ e a transformada só tem componentes reais. ■

A proposição 1 mostra que é possível obter uma THCF relacionando vetores com componentes em $\text{GF}(p)$ apenas impondo uma condição sobre o núcleo $\text{cas}_k(\zeta^i)$ da transformada. Essa condição não é excessivamente restritiva em relação à escolha do núcleo, uma vez que se $\zeta = a+jb$ satisfaz à condição mencionada, então a mesma também é satisfeita para qualquer elemento do conjunto $\Gamma = \{b+ja, (p-a)+jb, b+j(p-a), a+j(p-b), (p-b)+ja, (p-a)+j(p-b), (p-b)+j(p-a)\}$, de modo que muitas escolhas são possíveis para ζ . A tabela 1 a seguir lista algumas dessas escolhas para alguns valores de p .

TABELA I – Alguns valores de $\zeta = a+jb$ satisfazendo a proposição 1.

p	$\zeta = a + jb$
3	2, j, 2j
7	j, 2+j2, 5+j2, 2+j5, 5+j5
11	3+j5, 5+j3, 8+j5, 5+j8, 3+j6, 6+j3, 8+j6, 6+j8
19	2+j4, 4+j2, 17+j4, 4+j17, 2+j15, 15+j2, 17+j15, 15+j17
19	3+j7, 7+j3, 16+j7, 7+j16, 3+j12, 12+j3, 16+j12, 12+j17
23	4+j10, 10+j4, 19+j10, 10+j19, 4+j13, 13+j4, 19+j13,
23	13+j19, 8+j12, 12+j8, 15+j12, 12+j15, 8+j11, 11+j8
23	15+j11, 11+j15, 9+j9, 14+j9, 9+j14, 14+j14
31	2+j20, 20+j2, 29+j20, 20+j29, 2+j11, 11+j2, 29+j11,
31	11+j29, 4+j4, 27+j4, 4+j27, 27+j27, 5+j21, 21+j5,
31	26+j21, 21+j26, 5+j10, 10+j5, 26+j10, 10+j21, 7+j13,
31	13+j7, 24+j13, 13+j24, 7+j18, 18+j7, 24+j18, 18+j24

A proposição 1 estabelece os elementos necessários para a definição da Transformada Numérica de Hartley.

Definição 3: Seja $v = (v_0, v_1, \dots, v_{N-1})$ um vetor de comprimento N com componentes em $\text{GF}(p)$, $p \equiv 3 \pmod{4}$. Então a Transformada Numérica de Hartley de v é o vetor $V = (V_0, V_1, \dots, V_{N-1})$, com componentes em $\text{GF}(p)$ dadas por

$$V_k = \sum_{i=0}^{N-1} v_i \text{cas}_k(\zeta^i),$$

onde $\zeta = a+jb$ é um elemento de ordem N em $\text{GI}(p)$ satisfazendo $a^2+b^2 \equiv 1 \pmod{p}$.

Teorema 1: A Transformada Numérica de Hartley inversa do vetor V é o vetor v de componentes em $\text{GF}(p)$ dadas por [8], [10]

$$v_i = \frac{1}{N \pmod{p}} \sum_{k=0}^{N-1} V_k \text{cas}_k(\zeta^i).$$

Um sinal v e seu espectro de Hartley V formam um par TNH denotado por $v \leftrightarrow V$.

Exemplo 1: Considerando $p = 3$, seja $\zeta = j$, um elemento de ordem 4 em $\text{GI}(3)$. A matriz de transformação $\text{cas}_k(\zeta^i)$, $i, k = 0, 1, 2, 3$, é

$$\begin{bmatrix} 1 & 1 & 1 & 1 \\ 1 & 1 & -1 & -1 \\ 1 & -1 & 1 & -1 \\ 1 & -1 & -1 & 1 \end{bmatrix}$$

que é a matriz de Hadamard permutada de ordem 4×4 . Nesse caso, a transformada não requer multiplicações. ■

A TNF não permite enquadrar a transformada de Hadamard como uma transformada numérica, o que seria um resultado esperado. Entretanto, com a TNH isto é possível.

Exemplo 2: Uma TNH mapeando vetores com componentes em $\text{GF}(7)$ pode ser construída escolhendo-se $\zeta = 5+j2$, um elemento de ordem 8 em $\text{GI}(7)$. A matriz de transformação $\text{cas}_k(\zeta^i)$, $i, k = 0, 1, \dots, 7$, é

$$\begin{bmatrix} 1 & 1 & 1 & 1 & 1 & 1 & 1 & 1 \\ 1 & 0 & -1 & 4 & -1 & 0 & 1 & -4 \\ 1 & -1 & -1 & 1 & 1 & -1 & -1 & 1 \\ 1 & 4 & 1 & 0 & -1 & -4 & -1 & 0 \\ 1 & -1 & 1 & -1 & 1 & -1 & 1 & -1 \\ 1 & 0 & -1 & 4 & -1 & 0 & 1 & 4 \\ 1 & 1 & -1 & -1 & 1 & 1 & -1 & -1 \\ 1 & -4 & 1 & 0 & -1 & 4 & -1 & 0 \end{bmatrix}$$

Essa transformada tem comprimento $N=8$ e, portanto, pode ser computada através de um algoritmo rápido tipo Cooley-Tukey. ■

Das proposições 2 e 3 abaixo, é possível determinar que valores para o comprimento N são possíveis para a TNH.

Definição 4: O conjunto unimodular de $\text{GI}(p)$, denotado por G_1 , é o conjunto dos elementos $\zeta = (a+jb) \in \text{GI}(p)$, satisfazendo $a^2+b^2 \equiv 1 \pmod{p}$.

Proposição 2: $\zeta^{p+1} \equiv |\zeta|^2 \equiv a^2 + b^2 \pmod{p}$.

Prova: $\zeta^p = (a + jb)^p \equiv a^p + j^p b^p \pmod{p}$, pois $\text{GI}(p)$ é isomorfo a $\text{GF}(p^2)$, um corpo de característica p . Como $p = 4k+3$,

$j^p = -j$, de modo que $\zeta^p \equiv a - jb \pmod{p} = \zeta^* \pmod{p}$.
 Portanto, $\zeta^{p+1} \equiv \zeta \zeta^* = |\zeta|^2 \equiv a^2 + b^2 \pmod{p}$. ■

Proposição 3: G_1 é um grupo cíclico de ordem $(p+1)$.

Prova: G_1 é fechado em relação a multiplicação, pois se $(a+jb)$ e $(c+jd)$ estão em G_1 , isto é, se $a^2 + b^2 \equiv c^2 + d^2 \equiv 1 \pmod{p}$, então

$$e + jf = (a + jb)(c + jd) = (ac - bd) + j(ad + bc),$$

de modo que

$$\begin{aligned} e^2 + f^2 &= a^2c^2 - 2abcd + b^2d^2 + a^2d^2 + 2abcd + b^2c^2 \\ &= a^2(c^2 + d^2) + b^2(c^2 + d^2) \equiv \\ &\equiv a^2 + b^2 \equiv 1 \pmod{p}, \end{aligned}$$

e portanto $e+jf \in G_1$. Por outro lado, é um fato conhecido que o conjunto dos elementos não nulos de $GF(q)$, juntamente com a operação de multiplicação do corpo, é um grupo cíclico de ordem $(q-1)$ (denotado aqui por G) [11]. Portanto, sendo G_1 um subconjunto fechado de G , o mesmo é um subgrupo cíclico de G . Além disso, da proposição 2, $\zeta \in G_1$ satisfaz $\zeta^{p+1} \equiv 1 \pmod{p}$ e ζ é uma das $(p+1)$ raízes da unidade em $GF(p^2)$. Existem $(p+1)$ tais raízes e portanto G_1 tem ordem $(p+1)$. ■

Exemplo 3: Os grupos unimodulares de $GF(7^2)$ e $GF(11^2)$. Em cada caso, a tabela II lista os elementos dos subgrupos G_1 de ordem 8 e 12 dos grupos multiplicativos cíclicos dos elementos não nulos de $GF(7^2)$ e $GF(11^2)$, respectivamente, e suas ordens.

TABELA II - Elementos dos grupos unimodulares de (a) $GF(49)$ e (b) $GF(121)$.

(a)

ζ	ordem
1	1
-1	2
$j, -j$	4
$2+j2, 2+j5, 5+j2, 5+j5$	8

(b)

ζ	ordem
1	1
-1	2
$5+j3, 5+j8$	3
$j, -j$	4
$6+j8, 6+j3$	6
$8+j6, 8+j5, 3+j6, 3+j5$	12

A Figura 1 ilustra as 12 raízes da unidade em $GF(11^2)$. Claramente, o subgrupo cíclico G_1 é isomórfico a C_{12} , o grupo das rotações próprias (no plano) de um polígono regular de 12 lados. Um elemento gerador é $\zeta=8+j6$, correspondente a uma rotação de $2\pi/12 = 30^\circ$ no sentido anti-horário. Os símbolos de mesma cor indicam elementos de mesma ordem, os quais ocorrem em pares complexos conjugados.

Da proposição 3, conclui-se que os comprimentos possíveis para a TNH, dados pelos divisores da ordem de ζ , são os valores N que dividem $(p+1)$.

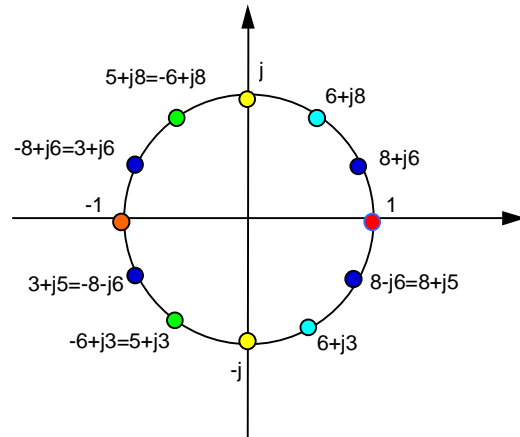


Fig. 1 - Raízes da unidade em $GF(11^2)$ expressas como elementos de $GF(11)$.

3. A TRANSFORMADA NUMÉRICA DE HARTLEY-MERSENNE (TNHM)

Alguns valores especiais de p originam classes específicas de transformadas numéricas. Assim, quando p é um primo de Fermat ou de Mersenne, as transformadas correspondentes são denominadas, respectivamente, Transformadas Numéricas de Hartley-Fermat (TNHF) ou Transformadas Numéricas de Hartley-Mersenne (TNHM). No primeiro caso, p é um primo da forma 2^s+1 , ou seja, $p \equiv 1 \pmod{4}$. Isso implica que $j^2 = -1$ é um resíduo quadrático de p , o que significa que as estruturas $GF(p)$ e $GF(p)$ são as mesmas. Portanto, as TNHF são mapeamentos de $GF(p)$ para $GF(p)$, e seus comprimentos são os divisores de $p-1=2^s$. Assim, essas transformadas apresentam as mesmas características das Transformadas Numéricas de Fourier-Fermat, incluindo os comprimentos do tipo potência de dois.

Quando p é um primo de Mersenne, isto é, um primo da forma 2^s-1 , tem-se $p \equiv 3 \pmod{4}$, de modo que as condições da definição 2 são atendidas. As TNHM são de interesse especial porque os corpos finitos onde a operação de multiplicação é mais simples são aqueles da forma $GF(2^s-1)$. Especificamente, se os inteiros nesse corpo são representados como s -uplas binárias, então como $2^s \equiv 1 \pmod{2^s-1}$, a aritmética em corpos finitos cuja ordem é um primo de Mersenne é a aritmética complemento a 1. Os comprimentos das TNH que podem ser usados em $GF(p)$ quando p é um primo de Mersenne, são os divisores de $p+1=2^s$, ou seja, são as potências de 2: $2^s, 2^{s-1}, \dots, 8, 4, 2$. Assim, qualquer TNH em $GF(2^s-1)$ pode ser computada através do algoritmo Cooley-Tukey de base 2. É interessante observar nesse ponto, que as Transformadas Numéricas de Fourier-Mersenne não podem ser calculadas por um algoritmo rápido tipo Cooley-Tukey, uma vez que $(2^s-1) - 1$ não é uma potência de 2.

As Transformadas Numéricas de Hartley-Mersenne permitem, em alguns casos particulares, uma implementação com complexidade multiplicativa nula, o que é atraente do ponto de vista prático. Nesses casos, o núcleo da transformação inclui apenas os valores 0, 1 e -1, ou potências

não triviais de 2. Nesse último caso, as multiplicações correspondem a deslocamentos cíclicos.

Proposição 5: Em $GF(2^{s-1})$, TNHMs de comprimento $N=8$, sem multiplicações, podem ser construídas com $\zeta = a + jb = 2^{\frac{s-1}{2}} + j2^{\frac{s-1}{2}}$.

Prova: ζ é um núcleo válido pois

$$|\zeta|^2 = a^2 + b^2 = 2^{s-1} + 2^{s-1} = 2^s \equiv 1 \pmod{p}.$$

Além disso,

$$\zeta^2 = 2^s j \equiv j \pmod{p},$$

de modo que, como j tem ordem 4, ζ tem ordem 8. ■

Exemplo 4: Em $GF(31)$, o elemento $4+j4$ tem ordem 8. Usado como argumento da função $\text{cas}(\cdot)$, o mesmo gera uma TNH de comprimento $N=8$. A tabela III abaixo lista as potências de ζ e os valores correspondentes das funções $\text{cos}(\cdot)$, $\text{sen}(\cdot)$ e $\text{cas}(\cdot)$, onde $\text{cas}(\zeta) = \Re(\zeta) + \Im(\zeta)$.

TABELA III - Elementos de uma TNH em $GF(31)$.

i	ζ^i	$\text{cos}(\cdot)=\Re(\zeta^i)$	$\text{sen}(\cdot)=\Im(\zeta^i)$	$\text{cas}(\cdot)$
1	$4+j4$	4	4	8
2	j	0	1	1
3	$-4+j4$	-4	4	0
4	-1	-1	0	-1
5	$-4-j4$	-4	-4	-8
6	-j	0	-1	-1
7	$4-j4$	4	-4	0
8	1	1	0	1

Na matriz de transformação, mostrada a seguir, os elementos não nulos são potências de 2, de modo que a TNH pode ser computada apenas com deslocamentos cíclicos e adições/subtrações.

$$\begin{bmatrix} 1 & 1 & 1 & 1 & 1 & 1 & 1 & 1 \\ 1 & 8 & 1 & 0 & -1 & -8 & -1 & 0 \\ 1 & 1 & -1 & -1 & 1 & 1 & -1 & -1 \\ 1 & 0 & -1 & 8 & -1 & 0 & 1 & -8 \\ 1 & -1 & 1 & -1 & 1 & -1 & 1 & -1 \\ 1 & 0 & -1 & 4 & -1 & 0 & 1 & 4 \\ 1 & 1 & -1 & -1 & 1 & 1 & -1 & -1 \\ 1 & -4 & 1 & 0 & -1 & 4 & -1 & 0 \end{bmatrix}$$

Transformadas sem multiplicações podem ser construídas com outros tipos de primos, como mostra a proposição a seguir.

Proposição 6: Seja p um número primo da forma $p = 2^{2k}+3$, $k \geq 1$. Então $\zeta = 2^k + j2$ é uma raiz da unidade em $GF(p)$.

Prova: Da proposição 2, $\zeta^{p+1} = |\zeta|^2 = 2^{2k} + 4 \equiv 1 \pmod{(2^{2k}+3)}$. ■

Como os termos da forma ζ^{ik} envolvem apenas potências de 2, esse argumento do núcleo $\text{cas}(\cdot)$ pode ser usado para construir TNHs em $GF(p)$ que envolvem apenas deslocamentos cíclicos e adições ou subtrações. A tabela IV a seguir lista

alguns valores de k , p e ζ . Os elementos listados tem todos ordem $N=p+1$ em $GI(p)$.

TABELA IV - Alguns valores referentes a proposição 6.

k	p	ζ
1	7	$2+j2$
2	19	$4+j2$
3	67	$8+j2$
6	4099	$64+j2$
8	65539	$256+j2$

As transformadas indicadas nas proposições 5 e 6 acima, representam famílias de soluções especiais do problema geral de se encontrar $\zeta = 2^u + j2^v$ em $GI(p)$ satisfazendo a congruência $4^u + 4^v \equiv 1 \pmod{p}$. Outras soluções particulares que resultam em transformadas numéricas livres de multiplicações podem ser obtidas, e. g., para: $\zeta = 2^4 + j2^6$ em $GF(19)$; $\zeta = 2^2 + j2^7$ ou $\zeta = 2^5 + j2^5$ em $GF(23)$, etc.

4. COMPUTANDO A TNH

Existe uma relação simples entre as transformadas de corpo finito de Fourier e de Hartley, como mostrado na proposição 7.

Proposição 7: Sejam $v = \{v_i\} \leftrightarrow V = \{V_k\}$ e $v = \{v_i\} \leftrightarrow F = \{F_k\}$ pares da Transformada de Corpo Finito de Hartley e de Fourier, respectivamente. Então

$$(i) \quad V_k = [(F_k + F_{N-k}) + j(F_{N-k} - F_k)]/2 = F_e - jF_o$$

$$(ii) \quad F_k = [(V_k + V_{N-k}) + j(V_k - V_{N-k})]/2 = V_e + jV_o$$

onde F_e e F_o denotam as partes par e ímpar de F , respectivamente, e V_e e V_o denotam as partes par e ímpar de V , respectivamente.

Prova: (i) Da definição 1

$$F_k = \sum_{i=0}^{N-1} v_i \zeta^{ki}$$

e

$$F_{N-k} = \sum_{i=0}^{N-1} v_i \zeta^{(N-k)i} = \sum_{i=0}^{N-1} v_i \zeta^{-ki}$$

de modo que,

$$(F_k + F_{N-k})/2 = \sum_{i=0}^{N-1} v_i (\zeta^{ki} + \zeta^{-ki})/2 = \sum_{i=0}^{N-1} v_i \cos_k(\zeta^i)$$

e

$$(F_{N-k} - F_k)/2j = \sum_{i=0}^{N-1} v_i (\zeta^{ki} - \zeta^{-ki})/2j = \sum_{i=0}^{N-1} v_i \text{sen}_k(\zeta^i)$$

e, da definição 3, o resultado segue. ■

(ii) De (i) tem-se que $V_{N-k} = [(F_k + F_{N-k}) + j(F_k - F_{N-k})]/2$. Assim, $V_k + V_{N-k} = F_k + F_{N-k}$ e $V_k - V_{N-k} = j(F_{N-k} - F_k)$. Multiplicando por j a última expressão e adicionando o resultado à expressão para $V_k + V_{N-k}$, (ii) segue. ■

Alguns casos especiais são de interesse. Um espectro $V = \{V_k\}$ é dito ter simetria par se $V_k = V_{N-k}$, e simetria ímpar se

$V_k = V_{N-k}$, $k = 0, 1, \dots, N-1$. Com esta terminologia, a proposição 7 implica que (\Leftrightarrow significa *se e só se*)

$$F \text{ é par} \Leftrightarrow V \text{ é real e par,}$$

$$F \text{ é ímpar} \Leftrightarrow V \text{ é imaginário e ímpar.}$$

A proposição 7 implica que qualquer algoritmo rápido para computar $V = \{V_k\}$ é também um algoritmo rápido para computar $F = \{F_k\}$ e vice-versa. Dessa forma um esquema eficiente pode ser concebido para computar V , através da proposição 7 (i). É necessário apenas computar F , a TFCF de v , o que pode ser feito através de algum algoritmo FFT (Transformada Rápida de Fourier). Seleccionadas as partes par (F_e) e ímpar (F_o) de F , o espectro TNH é dado diretamente por $V_k = F_e - jF_o$.

5. CONCLUSÕES

As Transformadas Numéricas de Fourier relacionam vetores com componentes em $GF(p)$ e empregam aritmética módulo p . Embora com características interessantes sob o ponto de vista de sua implementação, seu comprimento é um divisor de $(p-1)$ o que limita a escolha dos comprimentos possíveis. Neste trabalho, uma nova transformada, a Transformada Numérica de Hartley, foi introduzida. A TNH é obtida a partir da Transformada de Hartley de Corpo Finito, pela escolha judiciosa de seu núcleo $\text{cas}_k(\zeta^i)$, escolha esta que resulta em uma transformada com componentes em $GF(p)$. Dessa forma, não é necessário restringir o corpo de extensão a $GF(p)$ para se obter uma transformada numérica, o que significa que N , o comprimento da transformada, é um divisor de $(p-1)(p+1)$, de modo que, para um dado p , um número maior de escolhas para o valor de N é possível. Um caso particular de interesse prático é obtido quando p é um primo de Mersenne. As transformadas correspondentes, denominadas Transformadas Numéricas de Hartley-Mersenne, permitem implementações com complexidade multiplicativa nula, bem como comprimentos que permitem a utilização da FFT de Cooley-Tukey, algo que não é possível para a Transformada Numérica de Fourier, uma vez que $2^s - 2$ não admite potências não triviais de 2 como divisores. Um algoritmo rápido para a computação da Transformada Numérica de Hartley foi proposto.

AGRADECIMENTOS

Os autores agradecem a A. N. Kauffman da Nortel Networks por valiosas sugestões e comentários.

REFERÊNCIAS

- [1] J. M. Pollard, *The Fast Fourier Transform in a Finite Field*, Math. Comput., vol. 25, No. 114, pp. 365-374, Apr. 1971.
- [2] I. S. Reed and T. K. Truong, *The Use of Finite Fields to Compute Convolutions*, IEEE Trans. Inform. Theory, vol. IT-21, pp. 208-213, Mar. 1975.
- [3] I. S. Reed, T. K. Truong, V. S. Kwah and E. L. Hall, *Image Processing by Transforms over a Finite Field*, IEEE Trans. Comput., vol. C-26, pp. 874-881, Sep. 1977.
- [4] R. E. Blahut, *Transform Techniques for Error-Control Codes*, IBM J. Res. Dev., vol. 23, pp. 299-315, May 1979.

- [5] R. M. Campello de Souza and P. G. Farrell, *Finite Field Transforms and Symmetry Groups*, Discrete Mathematics, vol. 56, pp. 111-116, 1985.
- [6] J. L. Massey, *The Discrete Fourier Transform in Coding and Cryptography*, IEEE Information Theory Workshop, ITW 98, San Diego, CA, Feb. 1998.
- [7] R. M. Campello de Souza, H. M. de Oliveira and A. N. Kauffman, *Trigonometry in Finite Fields and a New Hartley Transform*, Proceedings of the 1998 International Symposium on Information Theory, p. 293, Cambridge, MA, Aug. 1998.
- [8] R. M. Campello de Souza, H. M. de Oliveira and A. N. Kauffman, *The Hartley Transform in a Finite Field*, Revista da Sociedade Brasileira de Telecomunicações, vol. 14, No. 1, pp. 46-54, junho 1999.
- [9] H. M. de Oliveira, R. M. Campello de Souza and A. N. Kauffman, *Efficient Multiplex for Band-Limited Channels: Galois-Field Division Multiple Access*, Proceedings of the 1999 Workshop on Coding and Cryptography - WCC '99, pp. 235-241, Paris, Jan. 1999.
- [10] A. N. Kauffman, *A Transformada de Hartley em um Corpo Finito*, Dissertação de Mestrado, Programa de Pós-Graduação em Engenharia Elétrica, Departamento de Eletrônica e Sistemas, UFPE, 1999.
- [11] F. J. MacWilliams and N. J. A. Sloane, *The Theory of Error-Correcting Codes*, North-Holland, 1986.
- [12] R. N. Bracewell, *The Discrete Hartley Transform*, J. Opt. Soc. Amer., vol. 73, pp. 1832-1835, Dec. 1983.
- [13] R. V. L. Hartley, *A More Symmetrical Fourier Analysis Applied to Transmission Problems*, Proc. IRE, vol. 30, pp. 144-150, Mar. 1942.
- [14] R. N. Bracewell, *The Hartley Transform*, Oxford University Press, 1986.
- [15] J.-L. Wu and J. Shiu, *Discrete Hartley Transform in Error Control Coding*, IEEE Trans. Acoust., Speech, Signal Processing, vol. ASSP-39, pp. 2356-2359, Oct. 1991.
- [16] R. N. Bracewell, *Aspects of the Hartley Transform*, IEEE Proc., vol. 82, pp. 381-387, Mar. 1994.
- [17] H. M. de Oliveira, R. M. Campello de Souza and A. N. Kauffman, *A Transformada Complexa de Hartley em um Corpo Finito*, Simpósio Brasileiro de Telecomunicações, Vitória-ES, set. 1999.